

# 联合的 F-FCSR 密钥流生成器

潘 臻, 唐小虎

(西南交通大学信息科学与技术学院, 四川成都 610031)

**摘 要:** 在分析带进位反馈移位寄存器(FCSR)的滤波密钥流生成器族 F-FCSR 线性弱点和其硬件方案 F-FCSR-Hv2 被攻破原因基础之上, 提出了利用两个 F-FCSR 输出简单非线性运算而成的联合的 F-FCSR 密钥流生成器. 该生成器避免了利用该种情况而进行的 Hell-Johansson 攻击, 其生成序列通过了美国技术与标准局(NIST)STS 的 16 项随机性测试, 有高的复杂度, 且能抵抗相关攻击和代数攻击.

**关键词:** 带进位的反馈移位寄存器; 滤波生成器; 密钥流生成器; 随机性

**中图分类号:** TP309.7 **文献标识码:** A **文章编号:** 0372-2112 (2010) 11-2675-05

## Combined F-FCSR Key Stream Generator

PAN Zhen, TANG Xiao-hu

(School of Information Science and Technology, Southwest Jiaotong University, Chengdu, Sichuan 610031, China)

**Abstract:** Based on the investigation of Feedback shift registers with carry operation (FCSR) and F-FCSR-Hv2 key stream generator which was a hardware candidate for eSTREAM, we present a generator named Combined F-FCSR. The random property of Combined F-FCSR is as good as F-FCSR and the key stream sequence passes the test of NIST's suit STS. By means of simple nonlinear operation, the Combined F-FCSR can resist the Hell-Johansson attack based on the fact that the main register of FCSR automat is linearly shifted at some special situations.

**Key words:** feedback shift registers with carry operation; filtered generator; key-stream generator; pseudo-randomness

## 1 引言

线性反馈移位寄存器(LFSR)在近几十年都是构造密钥流生成器的最常用工具, 特别是极大周期 LFSR 序列(m-序列)具有易于实现, 生成速度快和统计特性好等优点, 且理论完善, 便于研究, 因此作为核心部件广泛用于构造密钥流生成器. 但是 m-序列线性复杂度极小, 利用其输出序列, B-M 算法可以很容易地将其还原出来. 设计者必须利用非线性组合、非线性滤波、钟控等方式来破坏 m-序列的线性性质<sup>[1~3]</sup>, 以抵抗 B-M 算法的攻击.

而在 1993 年, Klapper 和 Goresky 提出了带进位的反馈移位寄存器(FCSR)<sup>[4]</sup>. 该生成器同样易于实现, 序列生成速度快, 其极大周期序列(l-序列)也具有良好统计特性, 同时利用带进位加, 使得 l-序列本身线性复杂度极高<sup>[4~7]</sup>, 可以抵抗 B-M 算法攻击, 从而受到研究者的高度重视. 但是 FCSR 基于 2-adic 理论, 其 2-adic 复杂度极小, 利用有理数逼近算法<sup>[6,8]</sup>可以很容易将 FCSR 结构还原, 故 FCSR 也不能单独作为密钥流生成器. 所以在 2005 年, Berger 和 Arnault 提出了利用 FCSR 主寄存器的

滤波方案<sup>[9]</sup>, 同年在 eSTREAM 项目上提出了 F-FCSR 密钥流生成器族. 该生成器族具有序列生成速度快、统计特性好、线性复杂度高的特点, 其硬件方案 F-FCSR-Hv2<sup>[10]</sup>最后通过了 eSTREAM 的评选, 成为 4 个硬件方案之一. 不幸的是, 2008 年 Hell 和 Johansson<sup>[11]</sup>以很小的代价攻破了 F-FCSR-Hv2, 主要原因在于 Galois 表示的 FCSR 主寄存器在运行中会出现短暂线性情况, 而 F-FCSR-Hv2 方案使用线性滤波函数, 攻击者可以列出足够多的线性方程从而还原 F-FCSR-Hv2 中 FCSR 的主寄存器值.

对于密钥流生成器来说, 极高的生成速度、简单的实现方式、良好的统计特性是至关重要的. 由于 F-FCSR 流密码族当前只有一种有效攻击手段<sup>[11]</sup>, 对该密钥流生成器族的改进, 使之在保证其它良好性质的前提下, 避免 Hell-Johansson 攻击将具有很好的意义. 本文提出联合的 F-FCSR 密钥流生成器方案, 利用两个 F-FCSR 的滤波输出进行简单的非线性运算, 使其在保持原有 F-FCSR 密钥流生成器族良好统计特性和速度优势的基础上, 避免了文献[11]中的攻击和其它攻击, 成功的改进了 F-FCSR 方案.

## 2 FCSR 自动机

令  $q$  为一奇负整数, 满足  $2^n < -q < 2^{n+1}$ , 则  $d = (1 - q)/2$  为一正整数, 记它的二进制展开为  $d = \sum_{i=0}^{n-1} d_i 2^i$  (其中  $d_{n-1} = 1$ ). 用  $I = \{i: 0 \leq i \leq n-2, d_i = 1\}$  表示  $d$  除去  $n-1$  位上所有其它的支撑. 为方便起见, 按照增序重排  $I$  中元素, 即  $I = \{i_1, \dots, i_l\}$ , 其中  $i_j < i_{j+1}, \forall j \in \{1, 2, \dots, l-1\}$ .

则以  $q$  为连接数的 FCSR 自动机由如下两组寄存器构成:

(1) 主寄存器  $M$ , 由  $n$  个单元构成, 每个单元表示为  $m_i (0 \leq i \leq n-1)$ .

(2) 进位寄存器  $C$ , 由  $l$  个单元构成, 每个单元表示为  $c_i (0 \leq i \leq l)$ .

为了表示方便, 我们也可以认为进位寄存器  $C$  包含  $n-1$  个单元  $c_i (0 \leq i \leq n-2)$ , 其中当  $d_i = 0$  时有  $c_i = 0$ , 不过, 此时 FCSR 寄存器真实的数目仍为  $n+l$ .

寄存器在时间  $t$  时的转移函数在单元级上表示如下:

$$m_i(t+1) = m_{i+1}(t) \oplus d_i c_i(t) \oplus d_i m_0(t), 0 \leq i < n \quad (1)$$

$$c_i(t+1) = d_i \cdot (m_{i+1}(t) \cdot c_i(t) \oplus c_i(t) \cdot m_0(t) \oplus m_0(t) \cdot m_{i+1}(t)), 0 \leq i < n-1 \quad (2)$$

其中  $\oplus$  表示异或, 为方便表示, 令  $m_n(t) = m_0(t)$ . 图 1 为 FCSR 的 Galois 结构:

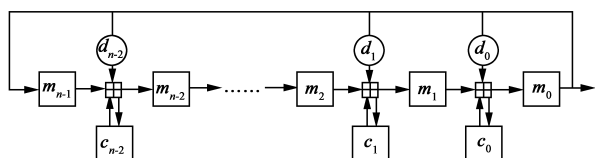


图1 带进位的反馈移位寄存器的Galois结构

其中 $\oplus$ 表示带进位加。进位单元与  $d$  二进制展开中 1 的位置对应。

主寄存器第  $i$  个单元在  $t \geq 0$  时刻后的值构成的序列表示为  $M_i(t) = (m_i(t+\tau))_{\tau \geq 0}$ , 其中  $0 \leq i \leq n-1$ . 当序列从时刻  $t=0$  开始时, 记为  $M_i = M_i(0)$ , 而 FCSR 的生成序列  $M$  即为  $M_0$ . 文献[9]证明 FCSR 主寄存器生成序列与 FCSR 序列具有相同的连接数和周期。

## 3 F-FCSR 密钥流生成器的结构及 Hell-Johansson 攻击

本节首先介绍 F-FCSR 密钥流生成, 并在此基础上分析 Hell-Johansson 攻击。

F-FCSR 密钥流生成器由 FCSR 自动机与滤波函数组成, 下面以 F-FCSR-Hv2 (如图 2 所示) 为例, 介绍 F-FCSR 密钥流生成器族的具体实现. F-FCSR-Hv2 采用固定滤波函数  $F = d$ , 即每个进位寄存器单元后的主寄存器

单元参与滤波运算. 为增加吞吐量, 该结构使用  $k = 8$  个不同的子滤波器. 使用的 FCSR 长度 (主寄存器数目) 为  $n = 160$ , 进位寄存器包含  $l = 82$  个单元。

8 个子滤波器为  $F_0, F_1, \dots, F_7$ , 令向量  $F$  对应比特串为  $(f_0, f_1, f_2, \dots, f_{n-1})$ .  $F_i$  对应比特串为  $(f_{i,0}, f_{i,1}, f_{i,2}, \dots, f_{i,n/k-1}), 0 \leq i < k$ , 则存在如下对应关系

$$f_{i,j} = f_{j \times k + i}, 0 \leq i < k, 0 \leq j < n/k \quad (3)$$

令主寄存器向量  $(m_0(t), m_8(t), m_{16}(t), \dots, m_{152}(t))$  用  $\hat{M}_0(t)$  表示, 而  $\hat{M}_i(t), 1 \leq i \leq 7$ , 表示主寄存器值  $(m_i(t), m_{8+i}(t), m_{16+i}(t), \dots, m_{152+i}(t))$ .  $z(t)$  为 F-FCSR-Hv2 在时刻  $t$  的一个字节输出, 最小比特为  $z(t)_0$ , 最高比特为  $z(t)_7$ , 那么输出字节  $z(t)$  可表示为

$$z(t)_i = \bigoplus_{j=0}^{19} (F_{i,j} \cdot \hat{M}_{i,j}(t)), 0 \leq i \leq 7 \quad (4)$$

其中  $F_{i,j}$  表示向量  $F_i$  中的第  $j$  个元素,  $\hat{M}_{i,j}(t)$  表示  $\hat{M}_i(t)$  中的第  $j$  个元素。

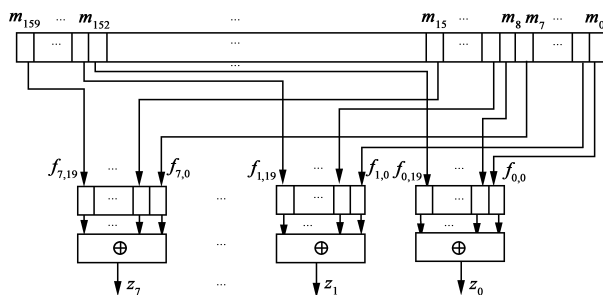


图2 F-FCSR-Hv2密钥流生成器结构图

Hell 和 Johansson<sup>[11]</sup>认为 F-FCSR 流密码族中, 进位寄存器  $C$  变化并不是很随机是其主要弱点. 原因在于它们都有一个共同的输入变量—反馈比特, 当反馈比特为 0 时,  $C$  中为 0 的单元仍为 0, 为 1 的单元以 50% 的概率变为 0. 所以当反馈比特连续出现多个 0 时, 会将进位寄存器变为常数  $0 \times 2$ . 设正整数, 定义如下事件:

$$\begin{aligned} \text{Et}(r): C(t) &= C(t+1) = \dots = C(t+r) \\ &= (0, 0, \dots, 0, 1, 0) \end{aligned}$$

对于 F-FCSR-Hv2 而言, 当  $\text{Et}(r)$  发生时, 主寄存器将出现线性平移的情况, 具体如下:

$$m_i(t+r) = \begin{cases} m_i(t), & 0 \leq i < 2 \\ m_{i+\tau}(t), & 2 \leq i < n-\tau \\ m_{i+\tau+2-n}(t) \oplus 1, & n-\tau \leq i < n \end{cases} \quad (5)$$

结合式(4)与式(5)可发现:  $z(t+\tau)_i, 0 \leq \tau \leq r$ , 仅与  $\hat{M}_{(T+i) \bmod 8}(t)$  相关. 那么令

$$W_i = (z(t)_i, z(t+1)_{i-1}, \dots, z(t+\tau)_{i-\tau}, \dots, z(t+r)_{i-r})_{r_i, (r+r_i) \equiv i \bmod 8}$$

其中  $\tau + \tau_i \equiv i \bmod 8$  对于任意的  $0 \leq \tau \leq r, 0 \leq i \leq 7$ . 则有:

$$W_i = \hat{M}_i R_i, 0 \leq i \leq 7$$

这里  $\mathbf{R}_i$  是一个已知的  $20(r+1)$  的矩阵(由滤波器  $\mathbf{F}$  决定),  $\hat{\mathbf{M}}_i = \hat{\mathbf{M}}_i(t)$  是含 20 个未知数的行向量. 这样我们分别求解这 8 个方程组, 每个方程组有 20 个未知数、 $r+1$  个方程. 设矩阵  $\mathbf{R}_i$  的秩表示为  $d(\mathbf{R}_i)$ , 若其为 20 则可直接计算出主寄存器值, 否则需要猜测  $20 - d(\mathbf{R}_i)$  比特. 所以正确解出这 160 个未知数的概率为:

$$\text{pr}(r) = \prod_{i=0}^7 2^{-(20-d(\mathbf{R}_i))}, d(\mathbf{R}_i) \leq 20$$

而  $\text{Et}(r)$  的出现条件为: 需要  $\log_2 l/2 \approx 6$  个反馈 0 使得  $\mathbf{C}$  在时刻  $t$  变为汉明重量为 1 的常数, 并需要  $r$  个反馈 0 使得  $\mathbf{C}$  再保持为常数  $r$  次, 则发生概率为  $p = 2^{-(r+\log_2 l/2)}$ , 那么, 一次试验解出 FCSR 主寄存器值的概率为:

$$P(r) = 2^{-(r+6)} \cdot \prod_{i=0}^7 2^{-(20-d(\mathbf{R}_i))} \leq 2^{-(r+6)} \cdot \prod_{i=0}^7 2^{-(20-r-1)} = 2^{-158+7r}, r \leq 19$$

成功攻击 F-FCSR-Hv2 的概率上限为  $2^{-25}$ . 事实上由于反馈比特的作用, 在求解方程前我们可以事先确定  $r+2$  个比特值如下:

$$m_i(t) = \begin{cases} 0, & 0 \leq i < 2 \\ 1, & 2 \leq i < r+2 \end{cases} \quad (6)$$

这样可以将成功的概率提高到  $2^{-23}$ . 真实情况下成功概率会比理想状态低一些, 文献[11]给出的成功概率为  $2^{-24.7}$ .

#### 4 联合的 F-FCSR 密钥流生成器

由前面叙述可知, 单纯对 Galois 表示的 FCSR 主寄存器进行线性滤波将是不合适的, 而使用非线性度很高的滤波器进行滤波将使得性质难于分析. 所以本文提出联合的 F-FCSR 密钥流生成器, 利用两个 F-FCSR 输出进行简单非线性组合, 既保证了生成密钥流的统计特性, 也避免了利用 FCSR 运行时可能出现短暂线性变化而进行的攻击.

下面介绍联合的 F-FCSR 密钥流生成器, 该生成器密钥长度 128 比特, 初始化值  $\mathbf{V}$  长度 128 比特. 结构如图 3 所示, 使用两个不同的 F-FCSR,  $F_a$  和  $F_b$ , 由于需要保证 128 比特安全性, 主寄存器级数都为 128 级, 连接数分别为  $q_a, q_b, q_a \neq q_b$ , 在  $t$  时刻  $F_a$  和  $F_b$  都输出 16 比特, 滤波器为固定值, 分别为  $F_a = (\lfloor q_a \rfloor + 1)/2$  和  $F_b = (\lfloor q_b \rfloor + 1)/2$ , 按式(3), 取  $k=16$ , 得 16 个子滤波器  $\mathbf{F}_{a_i}, \mathbf{F}_{b_i}, 0 \leq i < 16$ ; 令  $F_a$  的主寄存器向量  $(m_{a_i}(t), m_{a_{16+i}}(t), \dots, m_{a_{128+i}}(t))$  为  $\hat{\mathbf{M}}_{a_i}(t), 0 \leq i < 16$ ,  $F_b$  主寄存器向量  $(m_{b_i}(t), m_{b_{16+i}}(t), \dots, m_{b_{128+i}}(t))$  为  $\hat{\mathbf{M}}_{b_i}(t), 0 \leq i < 16$ , 由滤波运算:

$$a(t)_i = \bigoplus_{j=0}^8 F_{a_{i,j}} \cdot \hat{\mathbf{M}}_{a_{i,j}}(t), 0 \leq i < 16,$$

$$b(t)_i = \bigoplus_{j=0}^8 F_{b_{i,j}} \cdot \hat{\mathbf{M}}_{b_{i,j}}(t), 0 \leq i < 16$$

得到滤波输出为  $a(t)_0, a(t)_1, \dots, a(t)_{15}$  和  $b(t)_0, b(t)_1, \dots, b(t)_{15}$ , 其中  $F_{a_{i,j}}$  和  $F_{b_{i,j}}$  表示滤波器  $\mathbf{F}_{a_i}$  和  $\mathbf{F}_{b_i}$  的第  $j$  个值,  $\hat{\mathbf{M}}_{a_{i,j}}(t)$  和  $\hat{\mathbf{M}}_{b_{i,j}}(t)$  表示主寄存器  $\hat{\mathbf{M}}_{a_i}(t)$  和  $\hat{\mathbf{M}}_{b_i}(t)$  的第  $j$  个值. 再按如下运算式

$$s(t)_i = a(t)_i \oplus b(t)_i \oplus a(t)_{i+8} \oplus b(t)_{i+8}, 0 \leq i \leq 7(7)$$

得到  $s(t), s(t)_0, s(t)_1, \dots, s(t)_7$  表示对应比特, 则由  $s(t)_{i \geq 0}$  构成的序列即为联合密钥流生成器产生的密钥流序列.

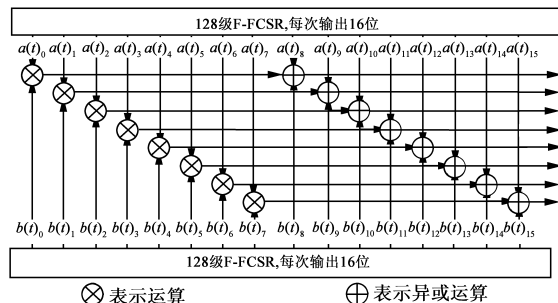


图3 联合的F-FCSR密钥流生成器

联合的 F-FCSR 密钥流生成器的“Key + IV”设置过程: 输入长度皆为 128 的密钥  $\mathbf{K}$  和  $\mathbf{V}$ ,  $\mathbf{K}_L$  为密钥的低 64 位,  $\mathbf{K}_H$  为密钥的高 64 位;  $\mathbf{V}_L$  为  $\mathbf{V}$  的低 64 位,  $\mathbf{V}_H$  为  $\mathbf{V}$  的高 64 位, 约定高位在左.

(1) 将  $F_a$  和  $F_b$  的主寄存器  $\mathbf{M}_a, \mathbf{M}_b$  用密钥  $\mathbf{K}$  和  $\mathbf{V}$  初始化:

$$\mathbf{M}_a := \mathbf{K}_L + 2^{64} \mathbf{V}_L = (\mathbf{V}_L \parallel \mathbf{K}_L)$$

$$\mathbf{M}_b := \mathbf{K}_H + 2^{64} \mathbf{V}_H = (\mathbf{V}_H \parallel \mathbf{K}_H)$$

(2) 将  $F_a$  和  $F_b$  进位寄存器  $\mathbf{C}_a, \mathbf{C}_b$  都初始化为 0:

$$\mathbf{C}_a := 0, \mathbf{C}_b := 0$$

(3) 运行 32 次, 每次运行得到一个字节输出  $\mathbf{S}_i (0 \leq i \leq 31)$ ;

(4) 用得到的这些字节重新初始化主寄存器:

$$\mathbf{M}_a := \sum_{i=0}^{15} \mathbf{S}_i \cdot 256^i = (\mathbf{S}_{15} \parallel \dots \parallel \mathbf{S}_1 \parallel \mathbf{S}_0)$$

$$\mathbf{M}_b := \sum_{i=0}^{15} \mathbf{S}_{i+16} \cdot 256^i = (\mathbf{S}_{31} \parallel \dots \parallel \mathbf{S}_{17} \parallel \mathbf{S}_{16})$$

(5) 将进位寄存器重新初始化为 0:  $\mathbf{C}_a := 0, \mathbf{C}_b := 0$ ;

(6) 将 FCSR 运行 132 个时钟(将这一步的输出丢弃).

本方案中, 选取强 2-素数  $q_a, q_b$  为  $F_a$  和  $F_b$  的连接数, 其值如下:

$$q_a = -0x199B63C90F4DE193F1FC89DFCD2C484BB$$

$$q_b = -0x1AC913013BC417DFF5FD97CF6D318A26B$$

且  $2^{128} < -q_a, -q_b < 2^{129}, l_a = 69, l_b = 70$ .  $F_a$  和  $F_b$  的生成序列为极大周期序列, 周期分别为  $|q_a| - 1$  和  $|q_b| - 1$ .

## 5 联合 F-FCSR 密钥流生成器抗 Hell-Johansson 攻击的分析

对联合的 F-FCSR 密钥流生成器定义如下事件:

$\text{Ed}(r)$ :

$$\begin{cases} C_{a(t)} = C_{a(t+1)} = \dots = C_{a(t+r)} = (0, 0, \dots, 0, 1, 0) \\ C_{b(t)} = C_{b(t+1)} = \dots = C_{b(t+r)} = (0, 0, \dots, 0, 1, 0) \end{cases}$$

则在事件  $\text{Ed}(r)$  发生时, 两个 FCSR 主寄存器变化情况由式(5)确定, 那么就可以列出  $8(r+1)$  个方程, 由方程数  $8(r+1) \leq 256$  可得整数  $r \leq 31$ , 其中输入变量线性相关.

要解方程组, 需要将方程变为线性方程, 可以采用的方法为: 对输出比特值进行猜测, 以便通过更改输出比特, 将方程变为线性方程. 由式(7)可知, 若  $a_i(t) b_i(t) = 0, 0 \leq i < 8$ , 可得方程  $s_i(t) = a_{i+8}(t) \oplus b_{i+8}(t)$  为线性方程; 若  $a_i(t) b_i(t) = 1$ , 则  $s_i(t) \oplus 1 = a_{i+8}(t) \oplus b_{i+8}(t)$  为线性方程. 关键在于猜测出何时  $s_i(t)$  取反, 以获得线性方程. 根据文献[9], 我们可以认为 F-FCSR 的输出序列  $a_i(t)$  和  $b_i(t)$  随机均匀分布, 那么  $a_i(t) b_i(t)$  为 1 的概率为  $1/4$ . 则对滤波输出比特  $s_i(t)$ , 有  $1/4$  概率需要取反, 以便得到线性方程, 因此 8 个方程猜对的概率为  $1/28$ , 对于  $8(r+1)$  个方程猜对的概率为  $(1/28)^{r+1} \approx 2^{-4.8(r+1)}$ .

$\text{Ed}(r)$  发生概率为  $\text{Et}(r)$  的平方, 即  $2^{-2(r+\log_2 1/2)} = 2^{-2(r+6)}$ . 令方程组秩为  $n'$ , 那么正确还原出主寄存器值的概率为:

$$P(r) = 2^{-2(r+6)} \cdot 2^{-4.8(r+1)} \cdot 2^{-(n-n')} \leq 2^{-6.8(r+1)-10} \cdot 2^{-(256-8(r+1))} = 2^{1.2r-264.8}, r \leq 31$$

攻击成功概率上界为  $2^{-227.6}$ . 根据式(6)可以事先确定  $2(r+1)$  个变量, 则有:

$$P(r) = \leq 2^{-6.8(r+1)-10} \cdot 2^{-(256-2(r+2)-8(r+1))} = 2^{3.2r-260.8}, r \leq 24$$

$r \leq 24$  是由  $(256-2(r+2)-8(r+1)) \geq 0$  确定, 此时攻击成功概率上界为  $2^{-184}$ , 所以该攻击对联合的 F-FCSR 流密码发生器无效.

## 6 联合的 F-FCSR 密钥流生成器的其他密码分析

美国国家技术与标准局 NIST 推出的 STS 软件包<sup>[12]</sup>是当前伪随机性测试中最具权威性的测试工具. 本文利用 STS 统计测试软件(版本 1.6)分别对 F-FCSR 流密码族中的 F-FCSR-8 和联合的 F-FCSR 的生成序列进行了测试. 经过对 1000 组长度为比特的生成序列进行测试, 结果显示两种密钥流生成器的生成序列通过

率都在 99% 左右, 其通过率偏差在 1% 之内, 见图 4. 所以我们认为联合的 F-FCSR 密钥流生成器生成的密钥流具有良好的统计特性.

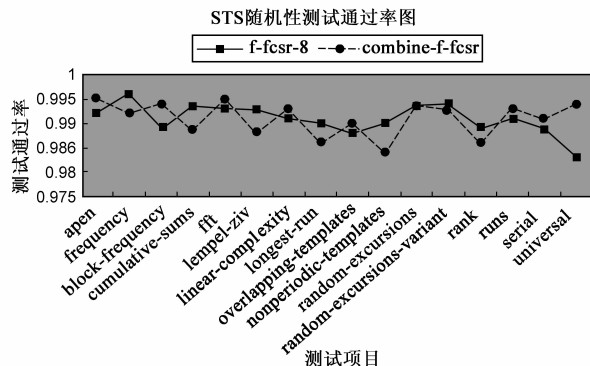


图4 F-FCSR与联合的F-FCSR随机性测试通过率图

类似于文献[9]的分析, 可得联合的 F-FCSR 密钥流生成器生成序列在复杂度上与随机序列近似, 同时也能够抵抗相关攻击和代数攻击.

## 7 结论

本文分析了基于带进位的反馈移位寄存器(FCSR)滤波的密钥流生成器方案(F-FCSR). 研究了 F-FCSR 的线性弱点, 在充分分析了 F-FCSR-Hv2 被攻破的原因的基础上, 提出了联合的 F-FCSR 密钥流生成器. 给出了参数, 设计了初始化过程. 该密钥流生成器利用两个线性 F-FCSR 输出序列进行简单非线性运算, 使得利用 FCSR 出现线性平移而进行的 Hell-Johansson 攻击无效. 其生成序列通过了美国技术与标准局(NIST)的 STS 软件包的 16 项随机性测试且能抵抗相关攻击和代数攻击. 结果表明改进后的方案弥补了 F-FCSR 方案的缺陷, 却保证了原有的良好性质, 生成简单, 速度快, 统计特性良好. 所以认为联合的 F-FCSR 流密码生成器是成功的.

## 参考文献:

- [1] 丁存生, 肖国镇. 流密码学及其应用[M]. 北京: 国防工业出版社, 1994.
- [2] 冯登国, 裴定一. 密码学导引[M]. 北京: 科学出版社, 1999.
- [3] 张木想, 肖国镇. 流密码中非线性组合函数的分析与设计[J]. 电子学报, 1996, 24(1): 48-52.  
ZHANG Mu-xiang, XIAO Guo-zhen. analysis and design of nonlinear combining function in stream ciphers[J]. Acta Electronica Sinica, 1996, 24(1): 48-52. (in Chinese)
- [4] Klapper A, Goresky M. 2-Adic shift register[A]. Fast Software Encryption [C]. Cambridge, U. K.: Springer-Verlag, 1993. 174-178.
- [5] Goresky M, Klapper A. Feedback register based on ramified ex-

- tensions of the 2-adic number[A]. Advances in Cryptology-Eurocrypt'94[C]. Perugia, Italy: Springer-verlag 1994. 215 – 222.
- [6] Klapper A, Goresky M. Feedback shift registers, 2-adic span and combiners with memory[J]. Journal of Cryptology, 1997, 10(1): 111 – 147.
- [7] Goresky M, Klapper A. Fibonacci and galois representations of feedback-with-carry shift registers [J]. IEEE Transactions on Information Theory, 2002, 48(11): 2826 – 2836.
- [8] Arnault F, Berger T P, Necer A. Feedback with carry shift registers synthesis with the euclidean algorithm[J]. IEEE Transactions on Information Theory, 2005, 50(5): 910 – 917.
- [9] Arnault F, Berger T P. Design and properties of a new pseudorandom generator based on a filtered FCSR automaton [J]. IEEE Transactions on Computers, 2005, 54(11): 1374 – 1383.
- [10] Arnault F, Berger T P, Lauradoux C. Update on F-FCSR Stream Cipher [DB/OL]. <http://www.ecrypt.eu.org/stream/>, 2008-4-2.
- [11] Hell M, Johansson T. Breaking the F-FCSR-H stream cipher in real time [A]. Advances in Cryptology-ASIACRYPT 2008 [C]. Melbourne, Australia: Springer-Verlag, 2008. 557 – 569.

- [12] Rukhin A, Soto J, Nechvatal J, et al. A Statistical Test Suite for Random and Pseudorandom Number Generator for Cryptographic Applications[DB/OL]. NIST Special Publication 800-22, <http://csrc.nist.gov/rng/SP800-22b.pdf>. 2004-05-01.

#### 作者简介:



潘 臻 男, 1981 年 4 月生于四川内江, 2007 年进入西南交通大学攻读博士学位, 主要研究方向为流密码分析与设计、流密码应用和 RFID 等.

E-mail: zpan5@163.com



唐小虎 男, 博士, 1972 年 3 月生于四川绵竹, 现任西南交通大学信息学院教授、博士生导师. 主要研究方向为信息论与编码理论、网络信息安全等.

E-mail: xhutang@ieec.org